

## LFSR 기반의 패턴분류기의 생성 및 분석

권숙희<sup>1</sup> · 조성진<sup>2\*</sup> · 최연숙<sup>3</sup> · 공길탁<sup>1</sup> · 김한두<sup>4</sup>

### Generation and Analysis of Pattern Classifier based on LFSRs

Sook-Hee Kwon<sup>1</sup> · Sung-Jin Cho<sup>2\*</sup> · Un-Sook Choi<sup>3</sup> · Gil-Tak Kong<sup>1</sup> · Doo-Han Kim<sup>4</sup>

<sup>1</sup>Department of Applied Mathematics, Pukyong University, Pusan 608-737, Korea

<sup>2\*</sup>Department of Applied Mathematics, Pukyong University, Pusan 608-737, Korea

<sup>3</sup>Department of Information & Communications Engineering, Tongmyong University, Pusan 608-711, Korea

<sup>4</sup>Department of Applied Mathematics, Inje University, Pusan 621-749, Korea

#### 요 약

본 논문에서는 LFSR 기반의 패턴분류기를 생성법을 제안한다. 생성한 LFSR 기반의 패턴분류기는 도달불가능 상태를 쉽게 파악할 수 있고 0-기본경로를 이용하여 의존벡터를 구할 수 있다. 또한 주어진 의존벡터에 대응하는 LFSR 기반의 패턴분류기를 생성하는 방법을 제안한다.

#### ABSTRACT

In this paper, we propose a method for generating pattern classifier based on LFSR. The proposed pattern classifier based on LFSR is easy to see non-reachable state, and we can obtain dependency vector by using the 0-basic path. Also, we propose a method for generating pattern classifiers based on LFSR which correspond to given dependency vector.

**키워드** : LFSR, 패턴분류기, 의존벡터, 끌개, 0-기본경로

**Key word** : LFSR, pattern classifier, dependency vector(DV), attractor, 0-basic path

Received 09 February 2015, Revised 05 March 2015, Accepted 19 March 2015

\* Corresponding Author Sung-Jin Cho(E-mail:sjcho@pknu.ac.kr, Tel:+82-51-629-5527)

Department of Applied Mathematics, Pukyong University, Busan 608-737, Korea

Open Access <http://dx.doi.org/10.6109/jkiice.2015.19.7.1577>

print ISSN: 2234-4772 online ISSN: 2288-4165

©This is an Open Access article distributed under the terms of the Creative Commons Attribution Non-Commercial License(<http://creativecommons.org/licenses/by-nc/3.0/>) which permits unrestricted non-commercial use, distribution, and reproduction in any medium, provided the original work is properly cited.  
Copyright © The Korea Institute of Information and Communication Engineering.

## I. 서론

패턴인식의 처리 과정은 패턴의 특징을 파악하여 패턴이 속한 부류로 분류하는 과정으로 구성되며, 패턴인식의 대부분인 분류 작업은 패턴분류기에 의하여 이루어진다. 패턴분류기는 데이터로부터 패턴들의 중요한 특징이나 속성을 추출하여 패턴을 특정한 클래스에 할당한다[1-3]. 패턴분류기의 설계는 작은 저장 공간, 큰 데이터 처리량, 낮은 가격대로 구현하는 것을 고려하여야 한다.

메모리량을 최소화 할 수 있는 방법으로 Maji 등은 클래스의 수가 2개인 패턴을 효과적으로 분류할 수 있는 MACA(Multiple Attractor Cellular Automata)를 합성하여 패턴분류기를 설계하였다[3]. Maji 등은 의존벡터(Dependency Vector, 이하 DV)를 이용하여 시간복잡도를  $O(n^3)$ 에서  $O(n)$ 으로 줄였다. 그러나 DV를 구하기 위하여 MACA에 대응하는 0-트리에 속하는 모든 원소를 구하여 그것을 계수로 하는 동차연립방정식의 해를 구하여야 하므로 초기 설정시간이 오래 걸린다.

본 논문에서는 초기 설정시간을 효과적으로 줄이기 위해 LFSR(Linear feedback shift register) 기반의 패턴분류기를 생성한다. 생성한 LFSR 기반의 패턴분류기  $C_M^n$ 의 상태전이행렬에 대한 특성을 분석하여 주어진  $C_M^n$ 의 상태전이그래프에서 0-트리의 한 도달불가능한 상태를 구하는 방법을 제안한다. 따라서  $C_M^n$ 에 대응하는 DV를 구하는 시간을 효과적으로 줄일 수 있다. 또한 주어진  $n$ -셀 DV에 대응하는 LFSR 기반의 패턴분류기  $C_M^n$ 의 상태전이행렬  $T_{M_n}$ 에 대하여,  $DV_i$ 에 대응하는  $T_{M_i}$ 를 합성하여 생성할 수 있다.

## II. 배경 지식

의사난수열 생성, 암호화 시스템 구현 등에 이용되는 LFSR은 시프트 레지스터의 일종으로, 레지스터에 입력되는 값이 이전 상태 값들의 선형 함수로 계산되고 유한체 위에서 정의된 선형접화식 수열을 효율적으로 발생시킬 수 있다. 이러한 수열의 특성은 점화식에 의해 유도되는 특성다항식에 의하여 결정된다[4, 5].  $n$ 개의 셀과 선형 피드백 함수(Linear feedback function)

$f(s_0, s_1, \dots, s_{n-1})$ 로 구성되는  $n$ 차 LFSR은 식(1)과 같다[6].

$$f(s_0, s_1, \dots, s_{n-1}) = c_0s_0 \oplus c_1s_1 \oplus \dots \oplus c_{n-1}s_{n-1} \quad (1)$$

여기서  $s_0, s_1, \dots, s_{n-1}$ 는 레지스터에 입력되는 초깃값이고  $c_0, c_1, \dots, c_{n-1} \in GF(2)$ 이다.

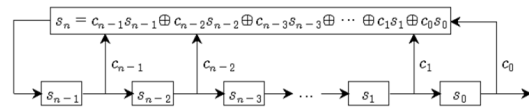


그림 1. LFSR의 구조  
Fig. 1 Structure of LFSR

그림1은  $n$ 차 LFSR의 구조이다. 식(1)에 대한 다항식  $c_T(x) = x^n + c_{n-1}x^{n-1} + \dots + c_0$ 를 LFSR의 특성다항식(Characteristic polynomial)이라 한다[7].

다음은 본 논문에서 사용되는 용어에 대한 정의이다.

<정의2.1[8-10]>

- (i) 끌개(attractor): 상태전이그래프에서 순환상태 중 사이클의 길이가 1인 상태
- (ii)  $\alpha$ -트리: 순환상태  $\alpha$ 를 루트로 하는 트리
- (iii) 깊이(depth): 상태전이그래프에서 임의의 도달불가능상태에서 가장 가까운 순환상태로 가는데 걸리는 최소단계 수
- (iv)  $\alpha$ -기본경로: 깊이가  $d$ 인  $\alpha$ -트리의 도달불가능상태  $x$ 는  $d$ 단계 후 그 상태가  $\alpha$ 가 된다. 이때 상태전이 단계( $x \rightarrow Tx \rightarrow \dots \rightarrow T^d x (= \alpha)$ )를  $\alpha$ -기본경로라 한다. 여기서  $T$ 는 상태전이행렬이다.
- (v) 도달불가능상태(non-reachable state): 상태전이 그래프에서 직전자가 존재하지 않는 상태.
- (vi) 도달가능상태(reachable state): 상태전이그래프에서 직전자가 적어도 한 개 존재하는 상태

다항식  $f(x) = x^n + c_{n-1}x^{n-1} + c_{n-2}x^{n-2} + \dots + c_1x + c_0$  ( $c_i \in GF(2)$ ,  $0 \leq i \leq n-1$ )에 대해 아래와 같은  $n \times n$  행렬  $T$ 를  $f(x)$ 의 동반행렬(Companion matrix)이라고 하고[7], 다음 식(2)와 같이 4가지 형태로 나타낼 수 있다.

$$\begin{aligned}
T^{(1)} &= \left( \begin{array}{cccc|c} 0 & 0 & \cdots & 0 & c_0 \\ \hline & & & & \\ 1 & 0 & \cdots & 0 & c_1 \\ 0 & 1 & \cdots & 0 & \vdots \\ \vdots & \vdots & \ddots & \vdots & c_{n-2} \\ 0 & 0 & \cdots & 1 & c_{n-1} \end{array} \right), \\
T^{(2)} &= \left( \begin{array}{cccc|cc} c_{n-1} & 1 & \cdots & 0 & 0 & \\ \vdots & \vdots & \ddots & \vdots & \vdots & \\ c_2 & 0 & \cdots & 1 & 0 & \\ c_1 & 0 & \cdots & 0 & 1 & \\ \hline & & & & & \\ c_0 & c_1 & \cdots & c_{n-2} & c_{n-1} & \end{array} \right), \\
T^{(3)} &= \left( \begin{array}{cccc|c} c_{n-1} & c_{n-2} & \cdots & c_1 & c_0 \\ \hline 1 & 0 & \cdots & 0 & 0 \\ 0 & 1 & \cdots & 0 & 0 \\ \vdots & \vdots & \ddots & \vdots & \vdots \\ 0 & 0 & \cdots & 1 & 0 \end{array} \right), \\
T^{(4)} &= \left( \begin{array}{cccc|cc} 0 & 1 & \cdots & 0 & 0 & \\ \vdots & \vdots & \ddots & \vdots & \vdots & \\ 0 & 0 & \cdots & 1 & 0 & \\ 0 & 0 & \cdots & 0 & 1 & \\ \hline & & & & & \\ c_0 & c_1 & \cdots & c_{n-2} & c_{n-1} & \end{array} \right) \quad (2)
\end{aligned}$$

$n$ 차 LFSR은  $X_i = TX_{i-1}$ 로 표현할 수 있다. 여기서,  $X_i$ 는 시간  $i$ 에서의  $n \times 1$  상태벡터이고  $T$ 는 동반행렬로 표현할 수 있다. 동반행렬  $T$ 에 대하여  $c_T(x) = m_T(x)$ 이 성립한다[7]. 단  $m_T(x)$ 는  $T$ 의 최소다항식(Minimal polynomial)이다.

<정리 2.2[11]> 임의의  $m \times n$  행렬  $A$ 에 대하여 다음이 성립한다.

$$\text{rank}(A) + \dim N(A) = n. \quad (3)$$

앞으로  $c_T(x) = m_T(x) = x^{n-1}(x+1)$ 인 2개의 끝개를 갖는 패턴분류기를  $\mathbb{C}_M^n$ 로 나타내기로 한다.

<정의 2.3[3]> 의존벡터(Dependency Vector, 이하  $DV$ )는  $n$ 비트 패턴들로 구성된 벡터공간의 부분공간  $\mathbb{V}$ 의 모든 원소에 대하여 성립하는 변수들 간의 선형 종속 관계이다.  $DV$ 와 0-트리의 성분의 내적은 0이다.

$DV=(101)$ 인 패턴분류기  $\mathbb{C}_M^3$ 의 상태전이행렬  $T_{M_3}$ 은 다음 식(4)과 같이 두 가지 경우가 있다.

$$T_{M_3}^{(5)} = \begin{pmatrix} 110 \\ 011 \\ 011 \end{pmatrix}, T_{M_3}^{(6)} = \begin{pmatrix} 110 \\ 110 \\ 011 \end{pmatrix} \quad (4)$$

### III. LFSR 기반의 패턴분류기

이 절에서는 LFSR을 이용한 패턴분류기를 생성하고 0-기본경로를 이용하여  $DV$ 를 구할 수 있는 방법을 제안한다.  $n$ -셀 패턴분류기  $\mathbb{C}_M^n$ 의 상태전이행렬  $T_{M_n}$ 에 대하여  $c_{T_{M_n}}(x) = m_{T_{M_n}}(x) = x^{n-1}(x+1)$ 이 성립한다. 이때 끝개의 개수는 2개이고, 0-트리의 상태의 개수는  $2^{n-1}$ 개다. 그리고  $\text{rank}(T_{M_n}) = n-1$ 이다.  $c_{T_{M_n}}(x) = m_{T_{M_n}}(x) = x^{n-1}(x+1)$ 인  $n$ -셀 패턴분류기  $\mathbb{C}_M^n$ 의 상태전이행렬  $T_{M_n}$ 에 대하여 대각성분의 1의 개수는 홀수이다.

<정리 3.1[12]> 상태전이행렬이  $T_{M_n}$ 인  $n$ -셀 패턴분류기  $\mathbb{C}_M^n$ 의 상태전이그래프에서,  $\mathbf{x}$ 가 0-트리의 한 도달불가능상태일 때  $DV$ 는 0-기본경로 ( $\mathbf{x} \rightarrow T_{M_n} \mathbf{x} \rightarrow \cdots \rightarrow T_{M_n}^{n-1} \mathbf{x}(=0)$ )의 성분을 각 행으로 하는 행렬 ( $B_0$ )의 영공간  $N(B_0)$ 의 기저벡터이고 유일하다.

위 정리로부터 0-트리의 도달불가능상태를 알면 0-기본경로를 알 수 있으므로  $DV$ 를 구하기가 쉽다는 것을 알 수 있다.

LFSR 기반의  $n$ -셀 패턴분류기  $\mathbb{C}_M^n$ 의 상태전이행렬  $T_{M_n}$ 은 다음 식(5)과 같이 4가지 형태로 나타낼 수 있다.

$$\begin{aligned}
T_{M_n}^{(1)} &= \begin{pmatrix} 0 & 0 & \cdots & 0 & 0 \\ 1 & 0 & \cdots & 0 & 0 \\ 0 & 1 & \cdots & 0 & 0 \\ \vdots & \vdots & \ddots & \vdots & \vdots \\ 0 & 0 & \cdots & 1 & 1 \end{pmatrix}, T_{M_n}^{(2)} = \begin{pmatrix} 1 & 1 & 0 & \cdots & 0 \\ 0 & 0 & 1 & \cdots & 0 \\ \vdots & \vdots & \vdots & \ddots & \vdots \\ 0 & 0 & 0 & \cdots & 1 \\ 0 & 0 & 0 & \cdots & 0 \end{pmatrix}, \\
T_{M_n}^{(3)} &= \begin{pmatrix} 1 & 0 & \cdots & 0 & 0 \\ 1 & 0 & \cdots & 0 & 0 \\ 0 & 1 & \cdots & 0 & 0 \\ \vdots & \vdots & \ddots & \vdots & \vdots \\ 0 & 0 & \cdots & 1 & 0 \end{pmatrix}, T_{M_n}^{(4)} = \begin{pmatrix} 0 & 1 & \cdots & 0 & 0 \\ \vdots & \vdots & \ddots & \vdots & \vdots \\ 0 & 0 & \cdots & 1 & 0 \\ 0 & 0 & \cdots & 0 & 1 \\ 0 & 0 & \cdots & 0 & 1 \end{pmatrix} \quad (5)
\end{aligned}$$

<정리 3.2> 길이가  $n$ 인 LFSR 기반의 패턴분류기  $\mathbb{C}_M^n$ 의 상태전이행렬  $T_{M_n}$ 에 대하여,  $\mathbf{e}_i$ 를 크기가  $n$ 이고  $i$ 번째 성분이 1인 단위벡터 ( $\mathbf{e}_i^t = (0 \dots 010 \dots 0)^t$ )일 때,  $\mathbb{C}_M^n$ 의 상태전이그래프에서 0-트리의 한 도달 불가능한 상태  $\mathbf{x}$ 는 다음과 같다.

(i)  $T_{M_n}^{(1)}$ 에 대하여  $\mathbf{y} = \mathbf{e}_1^t$ 일 때,  $\mathbf{y}T_{M_n}^{(1)} = \mathbf{O}$ 이고,

$$\mathbf{x} = (T_{M_n}^{(1)} + I)\mathbf{e}_1 \text{이다.}$$

(ii)  $T_{M_n}^{(2)}$ 에 대하여  $\mathbf{y} = \mathbf{e}_2^t$ 일 때,  $\mathbf{y}T_{M_n}^{(2)} = \mathbf{O}$ 이고,

$$\mathbf{x} = (T_{M_n}^{(2)} + I)\mathbf{e}_2 \text{이다.}$$

(iii)  $T_{M_n}^{(3)}$ 에 대하여  $\mathbf{y} = \mathbf{e}_1^t + \mathbf{e}_2^t$ 일 때,  $\mathbf{y}T_{M_n}^{(3)} = \mathbf{O}$ 이고,

$$\mathbf{x} = (T_{M_n}^{(3)} + I)\mathbf{e}_2 \text{이다.}$$

(iv)  $T_{M_n}^{(4)}$ 에 대하여  $\mathbf{y} = \mathbf{e}_{n-1}^t$ 일 때,  $\mathbf{y}T_{M_n}^{(4)} = \mathbf{O}$ 이고,

$$\mathbf{x} = (T_{M_n}^{(4)} + I)\mathbf{e}_n \text{이다.}$$

증명>  $\mathbb{C}_M^n$ 의 상태전이그래프에서 0-트리의 도달 가능상태는  $T$ 의 모든 열들의 일차결합으로 표현된다.

먼저 (i)에 대하여 첫 번째 행이 영벡터이므로  $T_{M_n}\mathbf{e}_1 \neq \mathbf{e}_1$ 이다. 그런데  $(T_{M_n}^{(1)} + I)\mathbf{e}_1$ 은  $T_{M_n}^{(1)}$ 의 모든 열들의 일차결합으로 표현되지 않으므로 0-트리의 도달 불가능 상태가 된다. 따라서  $\mathbf{x} = (T_{M_n}^{(1)} + I)\mathbf{e}_1$ 은  $\mathbb{C}_M^n$ 의 0-트리의 도달 불가능한 상태이다.

(ii)는 (i)과 같은 방법으로 증명할 수 있다.

(iii)에서  $T_{M_n}^{(3)}$ 은 1행과 2행이 같다.  $\mathbf{y}$ 를  $\mathbf{y} = \mathbf{e}_1^t + \mathbf{e}_2^t$ 라 하면  $\mathbf{y}T_{M_n}^{(3)} = \mathbf{O}$ 을 만족한다. 그런데  $(T_{M_n}^{(3)} + I)\mathbf{y}$ 은  $T_{M_n}^{(3)}$ 의 모든 열들의 일차결합으로 표현되지 않는다. 그리고  $(T_{M_n} + I)\mathbf{y} = (T_{M_n}^{(3)} + I)(\mathbf{e}_1 + \mathbf{e}_2)$

$$= (T_{M_n}^{(3)} + I)\mathbf{e}_1 + (T_{M_n}^{(3)} + I)\mathbf{e}_2$$

이므로  $(T_{M_n}^{(3)} + I)\mathbf{e}_1$ 와  $(T_{M_n}^{(3)} + I)\mathbf{e}_2$ 는  $T_{M_n}^{(3)}$ 의 모든 열들의 일차결합으로 표현되지 않으므로 0-트리의 도달 불가능상태가 된다. 따라서  $\mathbf{x} = (T_{M_n}^{(3)} + I)\mathbf{e}_2$ 는  $\mathbb{C}_M^n$ 의 0-트리의 도달 불가능한 상태이다.

(iv)는 (iii)과 같은 방법으로 증명할 수 있다. □

표 1.  $n$ -셀 LFSR 기반의 패턴분류기  $\mathbb{C}_M^n$   
Table. 1  $n$ -cell Pattern Classifier  $\mathbb{C}_M^n$  based on LFSR

	$T_{M_n}$	non-reachable state	DV
i	$T_{M_n}^{(1)}$	$(110 \dots 0)^t$	$(11 \dots 1)$
ii	$T_{M_n}^{(2)}$	$(0 \dots 011)^t$	$(11 \dots 1)$
iii	$T_{M_n}^{(3)}$	$(010 \dots 0)^t, (0110 \dots 0)^t$	$(10 \dots 0)$
iv	$T_{M_n}^{(4)}$	$(0 \dots 010)^t, (0 \dots 0110)^t$	$(0 \dots 01)$

<정리 3.3> 길이가  $n$ 인 LFSR 기반의 패턴분류기  $\mathbb{C}_M^n$ 의 상태전이행렬  $T_{M_n}^i (i=1,2,3,4)$ 에 대하여 DV는 다음과 같다.

$$T_{M_n}^{(1)} : DV = (11 \dots 1), T_{M_n}^{(2)} : DV = (11 \dots 1)$$

$$T_{M_n}^{(3)} : DV = (10 \dots 0), T_{M_n}^{(4)} : DV = (0 \dots 01)$$

증명> (i)  $T_{M_n}^{(1)}$ 을 상태전이행렬로 갖는  $\mathbb{C}_M^n$ 의 상태전이그래프에서 0-트리의 한 도달 불가능상태는 정리 3.2에 의하여  $\mathbf{x} = (110 \dots 0)^t$ 이고 0-기본경로 ( $\mathbf{x} \rightarrow T_{M_n}\mathbf{x} \rightarrow \dots \rightarrow T_{M_n}^{n-1}\mathbf{x} (=0)$ )는  $(110 \dots 0)^t \rightarrow (011 \dots 0)^t \rightarrow \dots \rightarrow (000 \dots 0)^t$ 이다. 또한 0-기본경로의 성분을 각 행으로 하는 행렬  $B_0$ 는 식(6)과 같다.

$$B_0 = \begin{pmatrix} 1 & 1 & 0 & \dots & 0 & 0 \\ 0 & 1 & 1 & \dots & 0 & 0 \\ 0 & 0 & 1 & \dots & 0 & 0 \\ \vdots & \vdots & \vdots & \ddots & \vdots & \vdots \\ 0 & 0 & 0 & \dots & 1 & 1 \\ 0 & 0 & 0 & \dots & 0 & 0 \end{pmatrix} \quad (6)$$

따라서  $N(B_0) = \{(00 \dots 0)^t, (11 \dots 1)^t\}$ 이므로 정리 3.2에 의하여  $DV = (1 \dots 1)$ 이다.

(ii), (iii), (iv)는 (i)과 같은 방법으로 증명할 수 있다.

표 1은  $n$ -셀 LFSR 기반의 패턴분류기  $\mathbb{C}_M^n$ 에 대하여 상태전이행렬  $T_{M_n}^i (i=1,2,3,4)$ 에 대응하는 상태전이 그래프에서 0-트리의 한 도달 불가능한 상태와  $\mathbb{C}_M^n$ 의 DV를 나타낸다.

표 2. 4-셀 LFSR 기반의 패턴분류기  $C_M^4$   
Table. 2 4-cell Pattern Classifier  $C_M^4$  based on LFSR

$T_{M_i}$	non-reachable state	DV
$T_{M_i}^{(1)} = \begin{pmatrix} 0000 \\ 1000 \\ 0100 \\ 0011 \end{pmatrix}$	$(1100)^t$	(1111)
$T_{M_i}^{(2)} = \begin{pmatrix} 1100 \\ 0010 \\ 0001 \\ 0000 \end{pmatrix}$	$(0011)^t$	(1111)
$T_{M_i}^{(3)} = \begin{pmatrix} 1000 \\ 1000 \\ 0100 \\ 0010 \end{pmatrix}$	$(0100)^t$	(1000)
$T_{M_i}^{(4)} = \begin{pmatrix} 0100 \\ 0010 \\ 0001 \\ 0001 \end{pmatrix}$	$(0010)^t$	(0001)

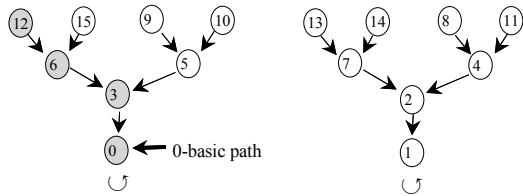


그림 2.  $C_M^4$ 의 상태전이그래프  
Fig. 2 State-transition diagram of  $C_M^4$

<예제 3.1> 길이가 4인 LFSR 기반의 패턴분류기  $C_M^4$ 의 상태전이행렬이  $T_{M_i}^{(1)}$ 이라 하자.  $T_{M_i}^{(1)}$ 은 식(7)과 같고, 0이 아닌 끝개는 1이고 도달불가능상태는 정리 3.2에 의해  $\mathbf{x} = (1100)^t$ 이다.

$$T_{M_i}^{(1)} = \begin{pmatrix} 0000 \\ 1000 \\ 0100 \\ 0011 \end{pmatrix} \quad (7)$$

$T_{M_i}^{(1)}$ 의 상태전이그래프를 나타내면 그림 2와 같고 0-트리 0-기본경로는  $((1100)^t \rightarrow (0110)^t \rightarrow (0011)^t \rightarrow (0000)^t = 12 \rightarrow 6 \rightarrow 3 \rightarrow 0)$ 이다. 0-기본경로의 성분을 각 행으로 하는 행렬  $B_0$ 는 식(8)과 같다.

$$B_0 = \begin{pmatrix} 1100 \\ 0110 \\ 0011 \\ 0000 \end{pmatrix} \quad (8)$$

따라서  $N(B_0) = \{(0000)^t, (1111)^t\}$ 이므로  $DV = (1111)$ 이다.

길이가 4인 LFSR 기반의 패턴분류기  $C_M^4$ 의 상태전이행렬  $T_{M_i}^{(i)}$  ( $i = 1, 2, 3, 4$ )에 대하여 DV는 표 2와 같다.

#### IV. LFSR 기반의 패턴분류기 합성

이 절에서는 주어진 DV에 대응하는 LFSR 기반의 패턴분류기를 합성하는 방법을 제안한다.

[1, 12]에서 언급한  $DV = (* \dots * 0 \dots 0 * \dots *)$  ( $k \geq 2$ )인 경우와  $DV = (0 * \dots * 0)$ 인 경우를 제외하고  $n$ -셀 DV에 대응하는 패턴분류기  $C_M^n$ 의 상태전이행렬  $T_{M_n}$ 를 구성하는 방법이다. 다음 정리는 주어진 DV에 대응하는 LFSR 기반의 패턴분류기를 합성하는 방법이다.

<정리 4.1> 길이가  $n$ 인 LFSR 기반의 패턴분류기  $C_M^n$ 의 상태전이행렬  $T_{M_n}$ 에 대하여  $n$ -셀 패턴분류기  $C_M^n$ 의 상태전이행렬  $T_{M_n}$ 은 다음 표 3과 같다.

표 3.  $n$ -셀 LFSR 기반의 패턴분류기  $C_M^n$   
Table. 3  $n$ -cell Pattern Classifier  $C_M^n$  based on LFSR

i	$DV = (v_1 \dots v_i v_{i+1} \dots v_n) = (1 \dots 10 \dots 0)$	$T_{M_n} = \begin{pmatrix}   & - & - &   \\   & T_{M_i}^{(1)} &   & O \\   & - & - &   \\   & - & - &   \\ O &   & - & - &   \end{pmatrix} = \begin{pmatrix} 0 & 0 & \dots & 0 & 0 \\ 1 & 0 & \dots & 0 & 0 \\ 0 & 1 & \dots & 0 & 0 \\ \vdots & \vdots & \ddots & \vdots & \vdots \\ 0 & 0 & \dots & 1 & \boxed{1} \dots 0 & 0 \\ O & \vdots & \vdots & \vdots & \vdots & \vdots \\ O & \vdots & \vdots & \vdots & \vdots & 1 & 0 \end{pmatrix}$
	$DV = (v_1 \dots v_{i-1} v_i \dots v_n) = (0 \dots 01 \dots 1)$	$T_{M_n} = \begin{pmatrix}   & - & - &   \\   & T_{M_i}^{(4)} &   & O \\   & - & - &   \\   & - & - &   \\ O &   & - & - &   \end{pmatrix} = \begin{pmatrix} 0 & 1 & \dots & 0 \\ \vdots & \vdots & \ddots & \vdots \\ 0 & 0 & \dots & 1 \\ 0 & 0 & \dots & \boxed{1} & 1 & 0 & 0 & 0 \\ O & 0 & 0 & 0 & \dots & 1 \\ \vdots & \vdots & \vdots & \vdots & \vdots & \vdots & \vdots & \vdots \\ O & 0 & 0 & 0 & \dots & 1 \\ O & 0 & 0 & \dots & 0 \end{pmatrix}$
iii	$DV = (v_1 \dots v_i \dots v_n) = (1 \dots 101)$	$T_{M_n} = \begin{pmatrix}   & - & - &   \\   & T_{M_i}^{(1)} &   & O \\   & - & - &   \\   & - & - &   \\ O &   & - & - &   \end{pmatrix} = \begin{pmatrix} 0 & 0 & \dots & 0 & 0 \\ 1 & 0 & \dots & 0 & 0 \\ \vdots & \vdots & \ddots & \vdots & \vdots \\ 0 & 0 & \dots & 0 & 0 \\ 0 & 0 & \dots & 1 & \boxed{1} & 1 & 0 \\ O & \vdots & \vdots & \vdots & \vdots & \vdots & \vdots \\ O & \vdots & \vdots & \vdots & \vdots & 0 & 1 & 1 \end{pmatrix}$

iv	$DV=(v_1 \cdots v_i \cdots v_n)=(101 \cdots 1)$	$T_{M_n} = \begin{pmatrix} \begin{matrix}   & \cdots &   \\ T_{M_i}^{(6)} & & O \\   & \cdots &   \\ \vdots & & \vdots \\ O & & T_{M_{n-i+1}}^{(2)} \\   & \cdots &   \end{matrix} \\ \hline \begin{matrix} 1 & 1 & 0 & & O \\ 1 & 1 & 0 & & \\ 0 & 1 & \boxed{1} & 1 & 0 \cdots 0 \\ & 0 & 0 & 1 & \cdots 0 \\ O & \vdots & \vdots & \vdots & \vdots \\ & 0 & 0 & 0 & \cdots 1 \\ & 0 & 0 & 0 & \cdots 0 \end{matrix} \end{pmatrix}$
	$DV=(v_1 \cdots v_i \cdots v_n)=(0 \cdots 0101)$	$T_{M_n} = \begin{pmatrix} \begin{matrix}   & \cdots &   \\ T_{M_i}^{(4)} & & O \\   & \cdots &   \\ \vdots & & \vdots \\ O & & T_{M_{n-i+1}}^{(5)} \\   & \cdots &   \end{matrix} \\ \hline \begin{matrix} 0 & 1 & 0 & \cdots & 0 \\ 0 & 0 & 1 & \cdots & 0 \\ \vdots & \vdots & \vdots & \ddots & \vdots \\ 0 & 0 & 0 & \cdots & 1 \\ 0 & 0 & 0 & \cdots & \boxed{1} & 1 & 0 \\ & & & & & 0 & 1 & 1 \\ & & & & & O & 0 & 1 & 1 \end{matrix} \end{pmatrix}$
vi	$DV=(v_1 \cdots v_i \cdots v_n)=(1010 \cdots 0)$	$T_{M_n} = \begin{pmatrix} \begin{matrix}   & \cdots &   \\ T_{M_i}^{(6)} & & O \\   & \cdots &   \\ \vdots & & \vdots \\ O & & T_{M_{n-i+1}}^{(3)} \\   & \cdots &   \end{matrix} \\ \hline \begin{matrix} 1 & 1 & 0 & & O \\ 1 & 1 & 0 & & \\ 0 & 1 & \boxed{1} & 0 & \cdots 0 & 0 \\ & 1 & 0 & \cdots 0 & 0 \\ & 0 & 1 & \cdots 0 & 0 \\ O & \vdots & \vdots & \vdots & \vdots \\ & 0 & 0 & \cdots 1 & 0 \end{matrix} \end{pmatrix}$

여기서  $DV=(101)$  인 패턴분류기  $\mathbb{C}_M^3$ 의 상태전이 행렬  $T_{M_3}$ 은 다음 식(4)과 같다.

**증명** 정리 3.2에 의하여 도달불가능상태  $x$ 는  $(110 \cdots 0)^t$ 이고 0-기본경로  $(110 \cdots 0)^t \rightarrow (0110 \cdots 0)^t \rightarrow \cdots \rightarrow (0 \cdots 0110)^t \rightarrow (0 \cdots 010)^t \rightarrow (0 \cdots 001)^t$ 의 성분을 각 행으로 하는 행렬  $B_0$ 는 식(9)과 같다.

$$B_0 = \begin{pmatrix} 1 & 1 & 0 & \cdots & 0 & 0 & \cdots & 0 \\ 0 & 1 & 1 & \cdots & 0 & 0 & \cdots & 0 \\ \vdots & \vdots & \vdots & \ddots & \vdots & \vdots & \ddots & \vdots \\ 0 & 0 & 0 & \cdots & 1 & 1 & \cdots & 0 \\ 0 & 0 & 0 & \cdots & 0 & 1 & \cdots & 0 \\ \vdots & \vdots & \vdots & \ddots & \vdots & \vdots & \ddots & \vdots \\ 0 & 0 & 0 & \cdots & 0 & 0 & \cdots & 1 \end{pmatrix} \quad (9)$$

$N(B_0) = \{(00 \cdots 00)^t, (1 \cdots 10)^t\}$  이므로  $DV=(1 \cdots 10 \cdots 0)$ 이다.

(ii), (iii), (iv), (v), (vi)의 경우 (i)과 같은 방법으로 증명할 수 있다.

**<예제 4.1>** (i)  $DV=(11110)$  인 LFSR 기반의 패턴분류기  $\mathbb{C}_M^5$ 의 상태전이행렬  $T_{M_5}$ 은 식(10)과 같다.

$$T_{M_5} = \begin{pmatrix} \begin{matrix} | & \cdots & | \\ T_{M_2}^{(1)} & & O \\ | & \cdots & | \\ \vdots & & \vdots \\ O & & T_{M_3}^{(3)} \\ | & \cdots & | \end{matrix} \\ \hline \begin{matrix} 0 & 0 & 0 & 0 & 0 \\ 1 & 0 & 0 & 0 & 0 \\ 0 & 1 & 0 & 0 & 0 \\ 0 & 0 & 1 & \boxed{1} & 0 \\ 0 & 0 & 0 & 1 & 0 \end{matrix} \end{pmatrix} \quad (10)$$

(ii)  $DV=(11101)$  인 LFSR 기반의 패턴분류기  $\mathbb{C}_M^5$ 의 상태전이행렬  $T_{M_5}$ 은 다음 식(11)과 같다.

$$T_{M_5} = \begin{pmatrix} \begin{matrix} | & \cdots & | \\ T_{M_3}^{(1)} & & O \\ | & \cdots & | \\ \vdots & & \vdots \\ O & & T_{M_3}^{(5)} \\ | & \cdots & | \end{matrix} \\ \hline \begin{matrix} 0 & 0 & 0 & 0 & 0 \\ 1 & 0 & 0 & 0 & 0 \\ 0 & 1 & 1 & 1 & 0 \\ 0 & 0 & 1 & \boxed{1} & 0 \\ 0 & 0 & 0 & 1 & 1 \end{matrix} \end{pmatrix} \quad (11)$$

(iii)  $DV=(00101)$  인 LFSR 기반의 패턴분류기  $\mathbb{C}_M^5$ 의 상태전이행렬  $T_{M_5}$ 은 다음 식(12)와 같다.

$$T_{M_5} = \begin{pmatrix} \begin{matrix} | & \cdots & | \\ T_{M_3}^{(4)} & & O \\ | & \cdots & | \\ \vdots & & \vdots \\ O & & T_{M_3}^{(5)} \\ | & \cdots & | \end{matrix} \\ \hline \begin{matrix} 0 & 1 & 0 & 0 & 0 \\ 0 & 0 & 1 & 0 & 0 \\ 0 & 0 & \boxed{1} & 1 & 0 \\ 0 & 0 & 1 & 1 & 0 \\ 0 & 0 & 0 & 1 & 1 \end{matrix} \end{pmatrix} \quad (12)$$

**<예제 4.2>** (i)  $DV=(1101000)$  인 LFSR 기반의 패턴분류기  $\mathbb{C}_M^7$ 의 상태전이행렬  $T_{M_7}$ 은 식(13)과 같다.

$$T_{M_7} = \begin{pmatrix} \begin{matrix} | & \cdots & | \\ T_{M_2}^{(1)} & & O \\ | & \cdots & | \\ \vdots & & \vdots \\ O & & T_{M_4}^{(3)} \\ | & \cdots & | \end{matrix} \\ \hline \begin{matrix} 0 & 0 & 0 & 0 & 0 & 0 & 0 \\ 1 & \boxed{1} & 1 & 0 & 0 & 0 & 0 \\ 0 & 1 & 1 & 0 & 0 & 0 & 0 \\ 0 & 0 & 1 & \boxed{1} & 0 & 0 & 0 \\ 0 & 0 & 0 & 1 & 0 & 0 & 0 \\ 0 & 0 & 0 & 0 & 1 & 0 & 0 \\ 0 & 0 & 0 & 0 & 0 & 1 & 0 \end{matrix} \end{pmatrix} \quad (13)$$

(ii)  $DV=(1101010)$  인 LFSR 기반의 패턴분류기  $\mathbb{C}_M^7$ 의 상태전이행렬  $T_{M_7}$ 은 식(14)와 같다.

$$T_{M_7} = \begin{pmatrix} \begin{matrix} | & \cdots & | \\ T_{M_2}^{(1)} & & O \\ | & \cdots & | \\ \vdots & & \vdots \\ O & & T_{M_4}^{(5)} \\ | & \cdots & | \end{matrix} \\ \hline \begin{matrix} 0 & 0 & 0 & 0 & 0 & 0 & 0 \\ 1 & \boxed{1} & 1 & 0 & 0 & 0 & 0 \\ 0 & 1 & 1 & 0 & 0 & 0 & 0 \\ 0 & 0 & 1 & \boxed{1} & 1 & 0 & 0 \\ 0 & 0 & 0 & 1 & 1 & 0 & 0 \\ 0 & 0 & 0 & 0 & 1 & \boxed{1} & 0 \\ 0 & 0 & 0 & 0 & 0 & 1 & 0 \end{matrix} \end{pmatrix} \quad (14)$$

다음은 LFSR 기반의 패턴분류기 합성에 대한 알고리즘이다.

을 제안하였다.

#### Algorithm 1

##### SynthesizeLFSRbased\_PatternClassifier

Input:  $n$ -셀  $DV = (v_1 \cdots v_i \cdots v_j \cdots v_n)$ ,  
 $i$ -셀 LFSR 기반의 패턴분류기  $C_M^i$ 의 상태전이행렬  $T_{M_i}$ ,  
 $DV = (101)$ 인 패턴분류기  $C_M^3$ 의 상태전이행렬  $T_{M_3}$   
Output: 패턴분류기의  $(n \times n)$  상태전이행렬  $T_{M_n}$   
Step1:  
(i)  $v_1 \cdots v_i = 101$ 이면  $T_{M_i}^{(6)}$ 을 생성한다.  
(ii)  $v_1 \cdots v_i = 1 \cdots 1$ 이면  $T_{M_i}^{(1)}$ 을 생성한다.  
(iii)  $v_1 \cdots v_i = 10 \cdots 0$ 이면  $T_{M_i}^{(3)}$ 을 생성한다.  
(iv)  $v_1 \cdots v_i = 0 \cdots 01$ 이면  $T_{M_i}^{(4)}$ 을 생성한다.  
 $i = n$ 이면 멈춘다.  $i < n$ 이면 Step2를 시행한다.  
Step2:  $v_1 \cdots v_j = * \cdots * 0 \cdots 0 * \cdots *$ 와  
 $(k \geq 2)$   
 $v_1 \cdots v_j = 0 * \cdots * 0$ 인 경우는 제외하고  $T_{M_i}$ 를 생성한다.  
(i)  $v_i \cdots v_j = 101$ 이면  $T_{M_{j-i+1}}^{(5)}$ 을 생성하여  $T_{M_i}$ 의  
 $(i, i)$  성분과  $T_{M_{j-i+1}}^{(5)}$ 의  $(1, 1)$  성분을 겹치게 하여 나머지  
성분은 0을 채우고  $T_{M_j}$ 을 생성한다.  
(ii)  $v_i \cdots v_j = 1 \cdots 1$ 이면  $T_{M_{j-i+1}}^{(2)}$ 을 생성한다.  
(iii)  $v_i \cdots v_j = 10 \cdots 0$ 이면  $T_{M_{j-i+1}}^{(3)}$ 을 생성한다.  
 $T_{M_i}$ 의  $(i, i)$  성분과  $T_{M_{j-i+1}}^{(3)}$ 의  $(1, 1)$  성분을 겹치게  
하여 나머지 성분은 0을 채우고  $T_{M_j}$ 을 생성한다.  
 $j = n$ 이면 멈춘다.  
 $j < n$ 이면 Step2를 시행한다.  
Step3: 패턴분류기의  $(n \times n)$  상태전이행렬  $T_{M_n}$ 을  
생성한다.

## V. 결 론

본 논문에서는 LFSR 기반의 패턴분류기를 생성하였다. 생성한 LFSR 기반의 패턴분류기의 분석을 통해 상태전이그래프에서 0-트리의 한 도달불가능상태를 찾는 방법을 제안하였고 이를 통해 DV를 구하는 시간을 효과적으로 줄였다. 또한 주어진 길이가  $n$ 인 DV에 대응하는 LFSR 기반의 패턴분류기  $C_M^n$ 의 상태전이행렬  $T_{M_n}$ 을 기본형이 되는  $T_{M_i}$ 를 합성하여 생성하는 방법

## REFERENCES

- [ 1 ] N. Ganguly, "Cellular Automata Evolution: Theory and Applications in Pattern Recognition and Classification," Ph. D. dissertation, CST Dept. BECDU India, 2003.
- [ 2 ] C. Krishna, A. Jas and N.A. Touba, "Achieving high encoding efficiency with partial dynamic LFSR reseeding," *ACM Trans. Design Automation of Electronic Systems*, vol. 9, pp. 500-516, 2004.
- [ 3 ] P. Maji, C. Shaw, N. Ganguly, B.K. Sikdar and P.P. Chaudhuri, "Theory and application of cellular automata for pattern classification," *Fundamenta Informaticae*, vol. 58, pp. 321-354, 2003.
- [ 4 ] C. Krishna, A. Jas and N.A. Touba, "Achieving high encoding efficiency with partial dynamic LFSR reseeding," *ACM Trans. Design Automation of Electronic Systems*, vol. 9, pp. 500-516, 2004.
- [ 5 ] C.C. Krishna and N.A. Touba, "Reducing test data volume using LFSR reseeding with seed compression," in *Proc. IEEE ITC*, pp. 321-330, 2002.
- [ 6 ] S. Golomb, *Shift Register Sequences*, Aegean Park Press, California, 1967.
- [ 7 ] R. Lidl and H. Niederreiter, *Finite Fields*, Cambridge University, 1997.
- [ 8 ] A.K. Das and P.P. Chaudhuri, "Vector space theoretic analysis of additive cellular automata and its application for pseudo-exhaustive test pattern generation," *IEEE Trans. Comput-Aided Des. Integr. Circuits Syst.*, vol. 42, pp. 340-352, 1993.
- [ 9 ] P.P. Chaudhuri, D.R. Chowdhury, S. Nandy and C. Chattopadhyay, *Additive Cellular Automata; Theory and Applications*, vol. 1, IEEE Computer Society Press, California, 1997.
- [ 10 ] S.J. Cho, U.S. Choi and H.D. Kim, "Behavior of complemented cellular automata derived from a linear cellular automata," *Mathematical and Computer Modelling*, vol. 36, pp. 979-986, 2002.
- [ 11 ] G. Strang, *Introduction to Linear Algebra*, Wellesley-Cambridge Press, 2009.
- [ 12 ] S.J. Cho, H.D. Kim, U.S. Choi, S.T. Kim, J.G. Kim, S.H. Kwon and G.T. Gong, "Generation of TPMACA for Pattern Classification," *LNCS*, vol. 8751, pp. 408-416, 2014.



**권숙희(Sook-Hee Kwon)**

2011년 부경대학교 응용수학과 졸업(이학석사)  
2011년 ~ 현재 부경대학교 응용수학과 박사과정  
※관심분야 : 정보보호, 부호이론



**조성진(Sung-Jin Cho)**

1988년 고려대학교 대학원 수학과 졸업(이학박사)  
1988년 ~ 현재 부경대학교 응용수학과 교수  
※관심분야 : 셀룰라 오토마타론, 정보보호



**최언숙(Un-Sook Choi)**

2004년 부경대학교 대학원 응용수학과 졸업(이학박사)  
2009년 부경대학교 대학원 정보보호학과 졸업(공학박사)  
2006년 ~ 현재 동명대학교 정보통신공학과 교수  
※관심분야 : 셀룰라 오토마타론, 정보보호, 암호이론



**공길탁(Gil-Tak Kong)**

2011년 ~ 현재 부경대학교 응용수학과 석사과정  
※관심분야 : 셀룰라 오토마타론, 암호이론



**김한두(Han-Doo Kim)**

1988년 고려대학교 대학원 수학과 졸업(이학박사)  
1989년 ~ 현재 인제대학교 응용수학과 교수  
※관심분야 : 전산수학, 셀룰라 오토마타론